

II-41 遊水モデルのパラメータについて

群馬高専 正会員 山本好克
都立大学 ハ 丸井信雄

1.はじめに

洪水および低水流を解析するモデルとして提案された遊水モデルのパラメータは、洪水流出実測データに適合するよう試行して決定され²⁾、さらにそれを単位変換することによって低水流解析に用いることができるとしてされている²⁾。ともあれ、このようにして決定されたパラメータによる、洪水・低水流解析結果、実測値との適合性は、かなり良好であることが示されている²⁾。しかしながら、一流域のみの検討結果からモデルの有効性を論することはひとえいと同時に、有用なモデルであるためには、パラメータの流域特性との関連性を見出す必要性がある²⁾。

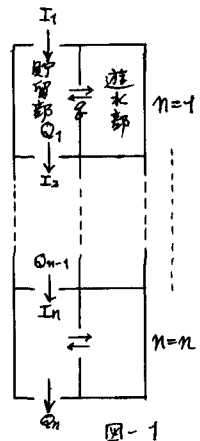
ここでは、神流川流域地点の洪水流出実測データを用いたパラメータの特性についての若干の検討と、そこから得られた知見をもとに、五十里川流域の洪水流出解析と試みることにより、有用なモデルとするための今後の方向性を見いだそうとするものである。

2. 遊水モデルの概念と基本式

遊水モデルの概念は、図-1に示すように、流域と河道を一つの貯水池と見なし、この貯水池が、貯留部と遊水部から成るとし、さらにピーチ流量の降雨からの遅れを表現するために、貯水池をn個直列に並べたものである。このモデルの基本式は、貯留部および遊水部の連続方程式と運動方程式によつて次のように表わされるものとする。

$$\begin{cases} \frac{ds_j}{dt} = I_j - Q_j - \delta_j \\ \frac{ds'_j}{dt} = \delta_j - \frac{E}{2} \end{cases} \quad \begin{array}{l} \text{--- (1)} \\ \text{--- (2)} \end{array}$$

$$\begin{cases} S_j = k_j Q_j^m \\ \delta_j = \alpha_j (S_j - \beta_j S'_j) \end{cases} \quad \begin{array}{l} \text{--- (3)} \\ \text{--- (4)} \end{array}$$



ここで、 Q は貯留部からの流量、 I は流域面積雨量 (I_1, \dots, I_n は貯留部からの流出量)、 S, S' はそれぞれ貯留部と遊水部の貯留量、 δ は貯留部から遊水部への流れを正、逆の場合と負とする流量、 E は流域からの蒸発散などによる損失量、 k, m, α, β は流域の特性によるパラメータ、添字 $j = 1, \dots, n$ は段数を表わすものとする。

3. モデルのパラメータについて

ここでは、山地流域の洪水流出解析を対象とすることとし、 $n=2$ 、 $E=0$ を設定し、さらには、 $m_1=m_2=m$, $k_1=k_2=k$, $\alpha_1=\alpha_2=\alpha$, $\beta_1=\beta_2=\beta$ であるとする。

神流川流域地点における、昭和33年9月(台風21号)の洪水流出実測データに適合するようモデルのパラメータを試行して決定した結果、 $m=1/3$, $k=40.0$, $\alpha=0.02$, $\beta=1.0$ を得た。ここで実測値と計算値とを図-2に示す。なお、これらのパラメータ値(ただし $k=40.5$)による昭和34年の2つの洪水流出解析結果、実測値との適合性は、かなり良好であることは既に示された²⁾。

パラメータ m 、 k は、洪水の波形およびピーチ流量と時刻にかなりの

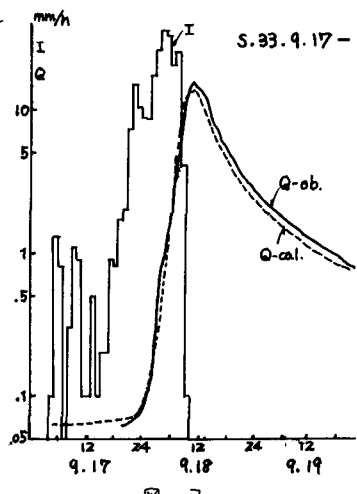


図-2

影響を及ぼすことは明らかであろう。ここで、パラメータ α , β の特性を知るために、昭和33年9月の洪水流出解析における、 $m = \frac{1}{3}$, $k = 40.0$ と固定し、 $\alpha = 0.02$ として β 値を変化させた場合の洪水波形の変動および $\beta = 1.0$ として α 値を変化させた場合のそれを調べた結果を、図-3に示す。図より、 α 値の変化は、洪水のピーク流量および減水曲線部にかなりの影響を及ぼすことわかる。一方 β 値にみるでは、洪水期間中であれば、 $\beta = 1.0$ と置くことの可能性が見られよう。

4. 五十里ダム地点の洪水流出解析。

3. で得られた結果から、五十里ダム地点の洪水流出解析に際し、モデルのパラメータ m , k , α , β のうち、 $m = \frac{1}{3}$ および $\beta = 1.0$ と設定し、昭和33年9月(台風21号)の洪水流出実測データに適合するように、パラメータ k , α を試行した結果、 $k = 40.0$, $\alpha = 0.04$ を得た。なお、実測値と計算値とを図-3に示してある。

さらに、これにパラメータ値を用いて、昭和33年9月(台風22号)の洪水流出解析(た結果を図-4に示す。図より、実測値と計算値との良好な適合性が見られる。

5. おわりに

洪水流出解析のパラメータを用い、洪水流出と同じ計算で低水流解析が可能となる避水モデルの有用性を計るために、パラメータの流域特性との関連性を検えようとする観点において、その最初として「神流」流域地図および五十里ダム地点の洪水流出実測データを用いて検討してみた。この算例と不十分ではあるが、現時点での流域の洪水解析における避水モデルについて、 $m = 2$, $m = \frac{1}{3}$, $\beta = 1.0$ と設定するとともに、および k , α を流域特性と関連づけることができる可能性が確立される。

今後、多くの山地流域を対象とした洪水流出解析を行なうことにより、パラメータと流域特性との関連性を把握すると同時に、洪水流出を決定されたパラメータの低水流解析への適用性についても検討していくこと。

最後に、データの整理および計算に多大な援助を頂いた、群馬高専の小金沢先生にお礼申し上げる次第です。

参考文献および資料

- 1) 丸井信雄：避水モデルによる洪水流出の解析、第26回年講第2部、昭46.10.
- 2) 丸井信雄：避水モデルによる低水流解析、第37回年講、昭57.10.
- 3) 神流川流域水文観測資料、建土研、昭43.1
- 4) 高水義生著 昭33.9.高水、達内某地建 昭34.3

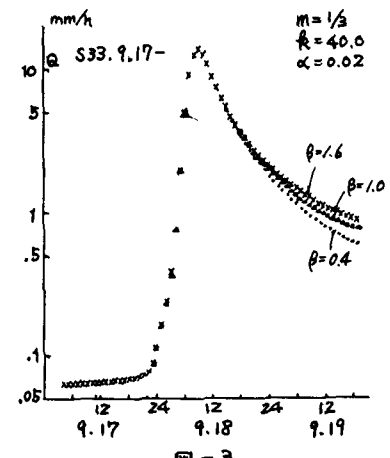
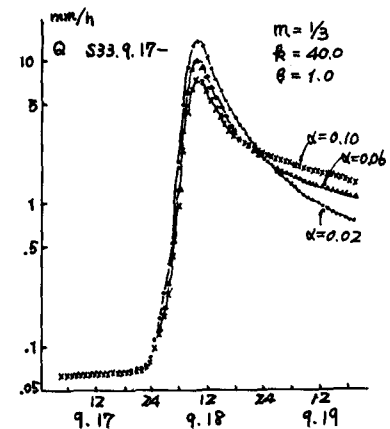


図-3

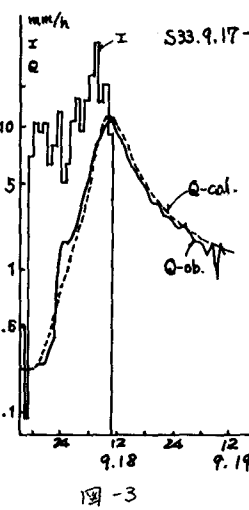


図-3

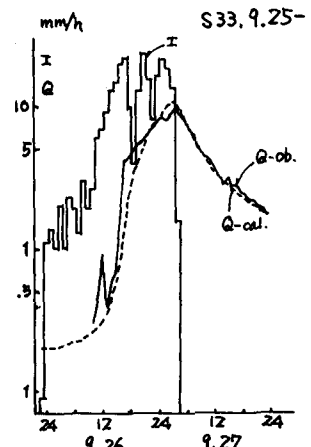


図-4